

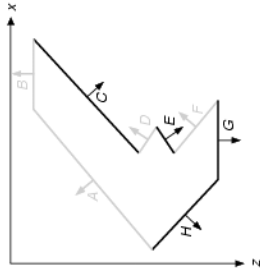
## Wyznaczanie powierzchni widocznych

- Dla danego zbioru obiektów i specyfikacji parametrów widzenia należy określić, które linie albo powierzchnie obiektów są widoczne, tak żeby było możliwe wyświetlenie tylko linii albo powierzchni widocznych
  - Algorytm z precyją obrazową:

```
for (każdy piksel obrazu) {
    wyznacz obiekt najbliższy obserwatora, który jest napotkany przez promień rzutowania przechodzący przez piksel;
    narysuj piksel o odpowiedniej barwie;}
```
  - Algorytm z precyją obiektyową
    - for (każdy obiekt) {
 wyznacz te części obiektu, których rzut nie jest zasłonięty przez inne części tego lub innych obiektów;
 narysuj te części z wykorzystaniem odpowiedniej barwy;}

## Wybieranie tylnych ścian

- Dla wszystkich wielokątów zostały tak zdefiniowane, że ich wektory normalne są skierowane na zewnątrz wielościanu

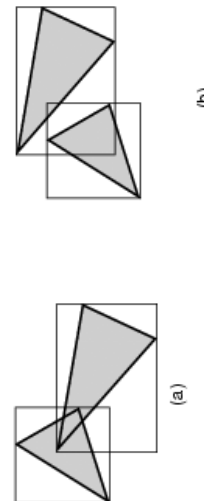


Założenie: wszystkie wielokąty zostały tak zdefiniowane, że ich wektory normalne są skierowane na zewnątrz wielościanu

Jeżeli kat pomiędzy wektorem normalnym wielokąta a wektorem skierowanym do obserwatora przekracza 90 stopni, to wielokąt nie jest widoczny

Badanie kąta może odbyć się przy użyciu iloczynu skalarnego wektorów (iloczyn dodatni -> wielokąt widoczny)

## Prostokąty ograniczające

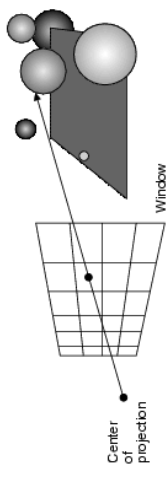


## Algorytm z-bufora

```
for (y=0; y<YMAX; y++) {
    for (x=0; x<XMAX; x++) {
        WritePixel(x, y, BACKGROUND_VALUE);
        WriteZ(x, y, 0);
    }
}
for (każdy wielokąt) {
    for (każdy piksel w rzucie wielokąta) {
        pZ = wartość z wielokąta dla piksela (x,y);
        if (pZ>=ReadZ(x, y)) {
            WriteZ(x, y, pZ);
            WritePixel(x, y, barwa wielokąta dla piksela (x,y));
        }
    }
}
```

Jeżeli spełniony jest jeden z poniższych warunków, to wielokąty są rozłączne:  
 $x_{A_{max}} < x_{B_{min}}$   $x_{B_{max}} < x_{A_{min}}$   $y_{A_{min}} < y_{B_{max}}$   $y_{B_{max}} < y_{A_{min}}$

## Metoda śledzenia promieni

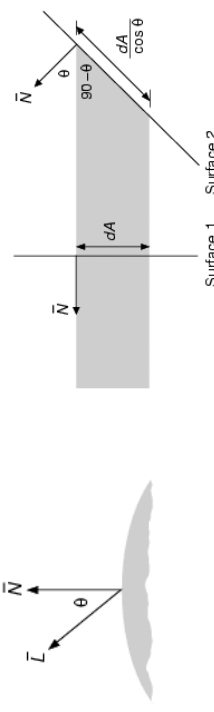


```

for (każdy przeglądany wiersz obrazu) {
    for (każdy piksel w przeglądanym wierszu) {
        wyznaczenie promienia ze środka rzutowania przez piksel;
        for (każdy obiekt w scenie) {
            if (obiekt jest przedni i jest najbliższy z dotychczas rozważanych)
                rejestrowanie przecięcia i nazwy obiektu;
        }
        ustawienie barwy piksela zgodnie z barwą najbliższego przedniego obiektu;
    }
}
  
```

## Lokalny model oświetlenia (1/4)

Odbicie rozproszone światła (dyfuzyjne, lambertowski)



$$I = I_p k_d \cos \theta = I_p k_d (\bar{N} \cdot \bar{L})$$

Z uwzględnieniem światła otoczenia:

$$I = I_a k_a + I_p k_d (\bar{N} \cdot \bar{L})$$

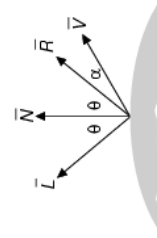
## Model oświetlenia (2/4)

Twumienie źródła światła

$$I = I_a k_a + f_{att} I_p k_d (\bar{N} \cdot \bar{L})$$

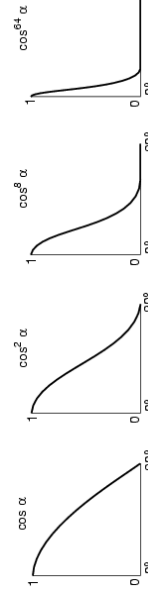
$$f_{att} = \frac{1}{d_L^2}$$

Odbicie lustrzane źródła światła (Phonga)



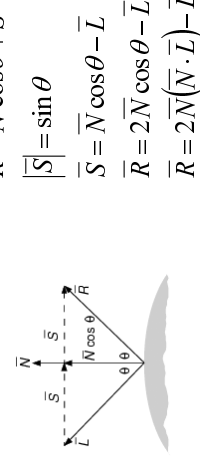
$$\begin{aligned} I &= I_a k_a + f_{att} I_p k_d (\bar{N} \cdot \bar{L} + k_s \cos^n \alpha) = \\ &= I_a k_a + f_{att} I_p k_d (\bar{N} \cdot \bar{L} + k_s (\bar{R} \cdot \bar{V})^n) \end{aligned}$$

## Model oświetlenia (3/4)



Różne wartości cos^n alpha w modelu Phonga

Obliczanie wektora odbicia

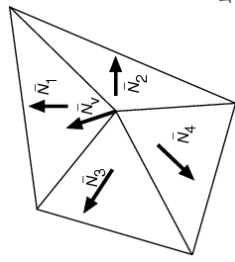


$$\begin{aligned} \bar{R} &= \bar{N} \cos \theta + \bar{S} \\ |\bar{S}| &= \sin \theta \\ \bar{S} &= \bar{N} \cos \theta - \bar{L} \\ \bar{R} &= 2\bar{N} \cos \theta - \bar{L} \\ \bar{R} &= 2\bar{N}(\bar{N} \cdot \bar{L}) - \bar{L} \end{aligned}$$

## Model oświetlenia (4/4)

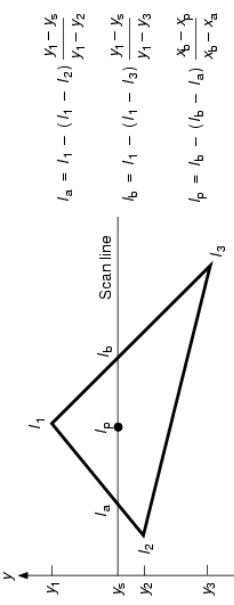
Wiele źródeł światła

$$I = I_a k_a + \sum_{i=1}^m f_{att_i} I_{p_i} k_d (\bar{N} \cdot \bar{L}_i + k_s (\bar{R}_i \cdot \bar{V})^n)$$

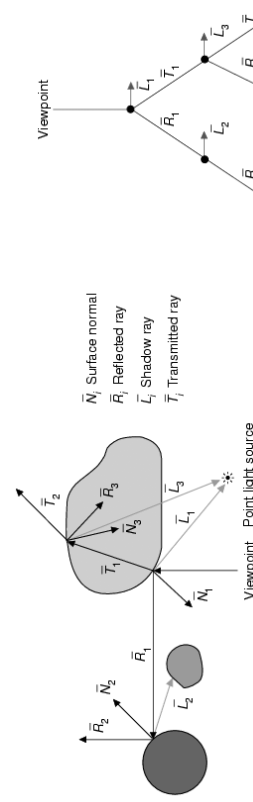


## Cieniowanie Gourauda

1. Interpolacja wektorów normalnych w wierzchołkach
2. Wyznaczenie oświetlenia w wierzchołkach
3. Interpolacja oświetlenia wewnątrz wielokąta



## Rekursywna metoda śledzenia promieni

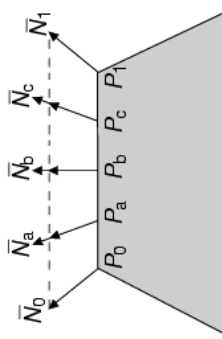


Globalny model oświetlenia (model Whitteda)

$$I = I_a k_a + \sum_{i=1}^m f_{att_i} I_{p_i} k_d (\bar{N} \cdot \bar{L}_i + k_s (\bar{R}_i \cdot \bar{V})^n) + k_s I_r + k_t I_t$$

## Cieniowanie Phonga

1. Interpolacja wektorów normalnych w wierzchołkach
2. Interpolacja wektorów normalnych wewnątrz wielokąta
3. Wyznaczenie oświetlenia wewnątrz wielokąta



# Rekursywna metoda śledzenia promieni

## Pseudokod

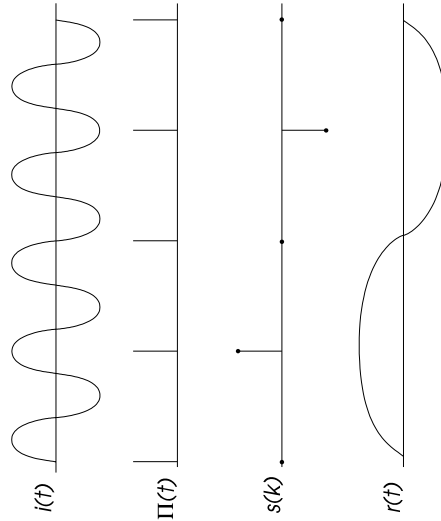
```

begin
    for każdy piksel P do {
        zbuduj promień R wychodzący z punktu widzenia obserwatora
        i przechodzący przez piksel P
        Intensity = trace ( R )
        wypełnij piksel P kolorem P intensywnością 'Intensity'
    }
end

procedure trace ( Ray )
begin
    for każdy obiekt E sceny do {
        znajdź punkt przecięcia promienia Ray z obiektem E
        (jeżeli taki istnieje)
    }
    if promień Ray nie przecina żadnego obiektu then {
        return (kolor i intensywność tła)
    }
    else {
        Określ najbliższy punkt przecięcia I
        return (Model_świetlenna(I, trace(promień_lustrzany),
            trace(promień_zalatany)))
    }
}
end

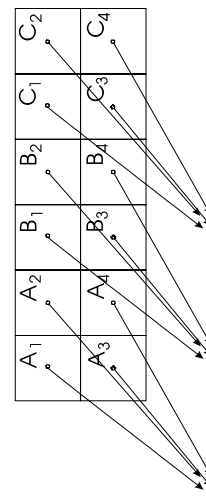
```

# Antialiasing (1/2)



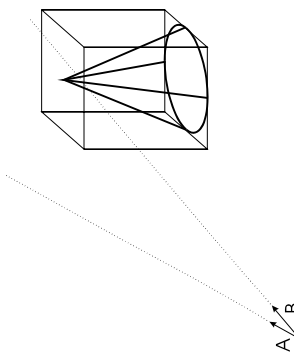
# Antialiasing (2/2)

## Supersampling



$$\frac{1}{4} \sum_{i=1}^4 A_i \quad \frac{1}{4} \sum_{i=1}^4 B_i \quad \frac{1}{4} \sum_{i=1}^4 C_i$$

## Otoczkowanie



n - ilość wszystkich śledzonych promieni,  
nb - ilość promieni przekinających otoczkę  
obiektu,  
Cb - koszt znajdowania przecięcia promienia  
z otoczką,  
Co - koszt znajdowania przecięcia z  
opisywanym obiektem geometrycznym,

$$C1 = n * Co$$

$$C2 = n * Cb + nb * Co$$

Warunek efektywności:  $C2 < C1$

$$n * Cb + nb * Co < n * Co$$

$$nb / n < 1 - Cb/Co$$

## Light Caching

# Znajdowanie przecięcia promienia z płaszczyzną

```

procedure Model_świetlenia_z_light_caching
begin
intensity = Ta
for każde źródło światła L do {
zbuduj promień R wychodzący z punktu I w kierunku L
if not promień R przecina L.cache then {
    for każdy obiekt E do {
        sprawdź, czy R przecina E
    }
    if R nie przecina żadnego obiektu then {
        intensity = intensity + (N ° L)
    }
}
else {
    L.cache = pierwszy przecinany obiekt
}
}
intensity = intensity + intensity_lustrzane
intensity = intensity + intensity_zalame
return (intensity)
end

```

Promień  
 $\vec{P} = \vec{O} + t\vec{D}$   
 $(\vec{P} - \vec{P}') \cdot \vec{N} = 0$   
 $0 \leq t < \infty$   
 $\alpha x + b y + c z + d = 0$

Rozwiązywanie równania:

$$(\vec{P} - \vec{P}') \cdot \vec{N} = (\vec{O} + t\vec{D} - \vec{P}') \cdot \vec{N} = 0$$

$$t = -\frac{(\vec{O} - \vec{P}') \cdot \vec{N}}{\vec{D} \cdot \vec{N}}$$

# Znajdowanie przecięcia promienia ze sferą

Promień  
 $\vec{P} = \vec{O} + t\vec{D}$   
 $(\vec{P} - \vec{C})^2 - R^2 = 0$   
 $(\vec{O} - t\vec{D} - \vec{C})^2 - R^2 = 0$   
 $0 \leq t < \infty$

Rozwiązywanie równania

$$t = \frac{-b \pm \sqrt{b^2 - 4ac}}{2a}$$

$$at^2 + bt + c = 0$$

$$a = \vec{D}^2 = 1, b = 2(\vec{O} - \vec{C}) \cdot \vec{D}, c = (\vec{O} - \vec{C})^2 - R^2$$

# Modelowanie krzywych – krzywe trzeciego stopnia

Płaszczyzna  
 $(\vec{P} - \vec{P}') \cdot \vec{N} = 0$   
 $t = -\frac{(\vec{O} - \vec{P}') \cdot \vec{N}}{\vec{D} \cdot \vec{N}}$

Modelowanie krzywych – krzywe trzeciego stopnia

$$Q(t) = [x(t) y(t) z(t)]^T$$

$$x(t) = a_x t^3 + b_x t^2 + c_x t + d_x$$

$$y(t) = a_y t^3 + b_y t^2 + c_y t + d_y$$

$$z(t) = a_z t^3 + b_z t^2 + c_z t + d_z$$

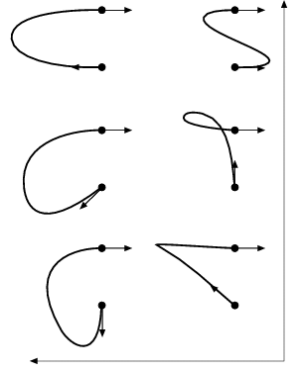
$$0 \leq t \leq 1$$

## Krzywa Hermita

Określona przez dwa punkty końcowe ( $P_1, P_4$ ) i przez dwa wektory styczne w tych punktach końcowych ( $R_1, R_4$ )

Macierz geometrii Hermita:  $G_H = [P_1 P_4 R_1 R_4]$

$$Q(t) = (2t^3 - 3t^2 + 1)P_1 + (-2t^3 + 3t^2)P_4 + (t^3 - 2t^2 + t)R_1 + (t^3 - t^2)R_4$$



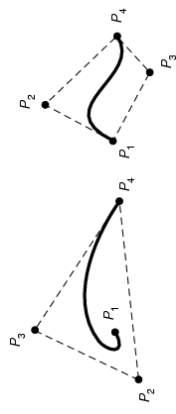
## Krzywa Béziera

Określona przez dwa punkty końcowe ( $P_1, P_4$ ) i przez dwa inne punkty ( $P_2, P_3$ ), które mają wpływ na wektory styczne w punktach końcowych

Macierz geometrii Béziera:  $G_B = [P_1 P_2 P_3 P_4]$

$$R_1 = Q'(0) = 3(P_2 - P_1), \quad R_4 = Q'(1) = 3(P_4 - P_3)$$

$$Q(t) = (1-t)^3 P_1 + 3t(1-t)^2 P_2 + 3t^2(1-t)P_3 + t^3 P_4$$



## Powierzchnia Béziera

